

УДК 535.32

## СПЕКТРЫ ФУНДАМЕНТАЛЬНОГО ОТРАЖЕНИЯ ТРИГЛИЦИНСУЛЬФАТА

З. С. Василина и Н. А. Романюк

Описывается спектры фундаментального отражения ориентированных образцов ТГС в области 200—100 нм при углах падения света 70—85° и температурах 20—80° С. При переходе из парафазы в сегнетофазу интенсивность отражения *z*-компоненты уменьшается, а *x*-компоненты увеличивается, при этом отражение *y*-составляющей переходит в точке Кюри через максимум.

Спектры отражения кристаллов триглицинсульфата (ТГС) в области 200—120 нм описаны в [1], где приведено положение ряда полос отражения, отмечены некоторые поляризационные эффекты и наличие определенных изменений при фазовом переходе.

В настоящей работе несколько расширена спектральная область измерений (200—100 нм), специально подобраны углы падения, обеспечивающие более высокую эллиптичность отраженного луча и большую четкость полос отражения [3]. Также исследованы изменения в спектрах при фазовом переходе.

Измерения выполнены фотографическим методом [2] на спектрографе ДФС-5. Поверхности ориентированных образцов ТГС обрабатывались механически. Отдельные измерения проведены на сколах *y*-среза.

Относительная ошибка эксперимента в пределах одной пленки (8 спектрограмм) составляет 15%.

В первую очередь исследовались изменения спектров отражения с углом падения. Как видно из рис. 1, при изменении этого угла от 85 до 70° коэффициент отражения *R* резко уменьшается и заметно ухудшается четкость полос отражения. Типичная для естественного света зависимость величины отражения от угла падения (рис. 1) дает основание предполагать, что для ТГС угол Брюстера лежит в интервале 65—70°. При изменении длины волны  $\lambda$  характер этой зависимости изменяется мало. Фактически можно говорить о том, что при увеличении  $\lambda$  этот угол уменьшается в указанных пределах.

При угле Брюстера отраженный свет максимально поляризован, но отражательная способность низкая. Это заставило нас выбрать рабочий угол посередине участка линейного возрастания отражения — 80°. При этом угол эллиптичность отраженного луча еще значительна: если оценочные значения оптических констант в данной области  $n \approx 2.4$  и  $x \approx 0.1$ , то при угле 80° расчетное отношение коэффициентов отражения обеих поляризаций  $r_s/r_p = 73\% / 14\% = 5$ , что дает возможность обнаружить в спектрах соответствующие поляризационные эффекты.

На рис. 2 приведены спектры различных срезов и ориентаций ТГС. Спектр ТГС в области 200—100 нм можно разбить на 2 части: 200—160 нм, характеризующуюся сравнительно плавным ходом и невысокой отражательной способностью, и 160—100 нм, состоящую из группы интенсивных полос (160—148, 148—134, 134—117, 117—108 нм).

Полоса 134—117 нм наиболее интенсивная, она имеет два четких пика отражения при 130 и 126 нм и дублет 120—122 нм.

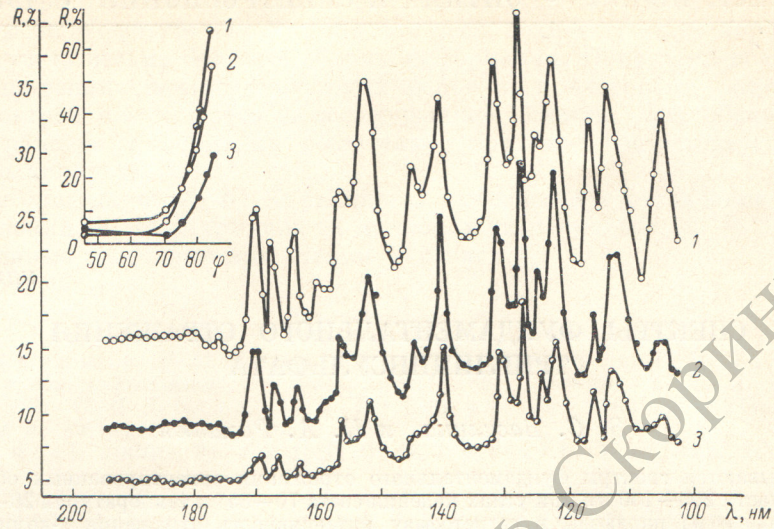


Рис. 1.

Спектры отражения  $x$ -среза кристаллов ТГС при  $E \parallel z$  и различных углах падения света. 1 —  $\varphi = 85^\circ$ ; 2 —  $\varphi = 80^\circ$ ; 3 —  $\varphi = 75^\circ$ . Вверху — угловая зависимость отражательной способности ТГС для различных поляризаций: 1 —  $E \parallel x$ ; 2 —  $E \parallel y$ ; 3 —  $E \parallel z$ . Комнатная температура.  $\lambda = 140$  нм.

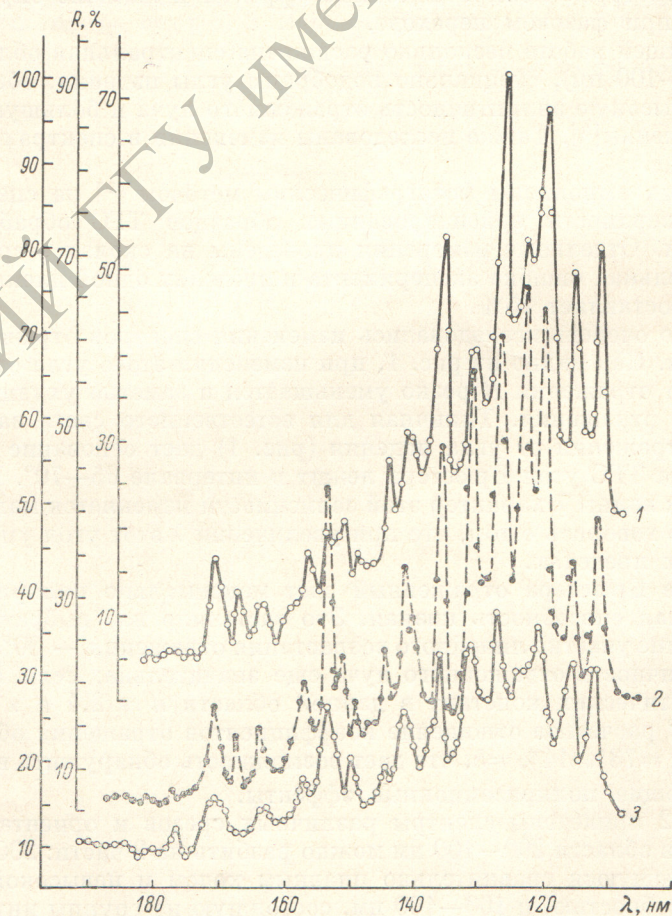


Рис. 2. Спектры отражения кристаллов ТГС.

1 —  $E \parallel x$ ,  $z$ -срез; 2 —  $E \parallel y$ ,  $z$ -срез; 3 —  $E \parallel z$ ,  $y$ -срез. Угол падения —  $80^\circ$ . Комнатная температура.

Вторая по интенсивности полоса 148—134 нм имеет четкий пик при 141 нм с маленьким сателлитом слева и высокий узкий пик при 135 нм.

Полоса 160—148 нм имеет в зависимости от поляризации 2 или 3 пика. Поляризации  $E \parallel y$  здесь отвечает высокий средний пик при 152 нм, который для  $E \perp y$  снижается и сливается со своим правым соседом.

Полоса 117—108 нм раздвоена, с пиками при 115 и 111 нм, на образцах  $x$ -реза при  $E \parallel y$  она довольно интенсивна.

При сравнении интенсивности отражения различных срезов и ориентаций ТГС можно отметить, что при комнатной температуре наименьшая отражательная способность у  $x$ -реза (для угла падения  $80^\circ R$  изменяется от 2 до 27%). Для  $y$ -реза  $R$  изменяется от 6 до 70%, причем для  $E \parallel x$

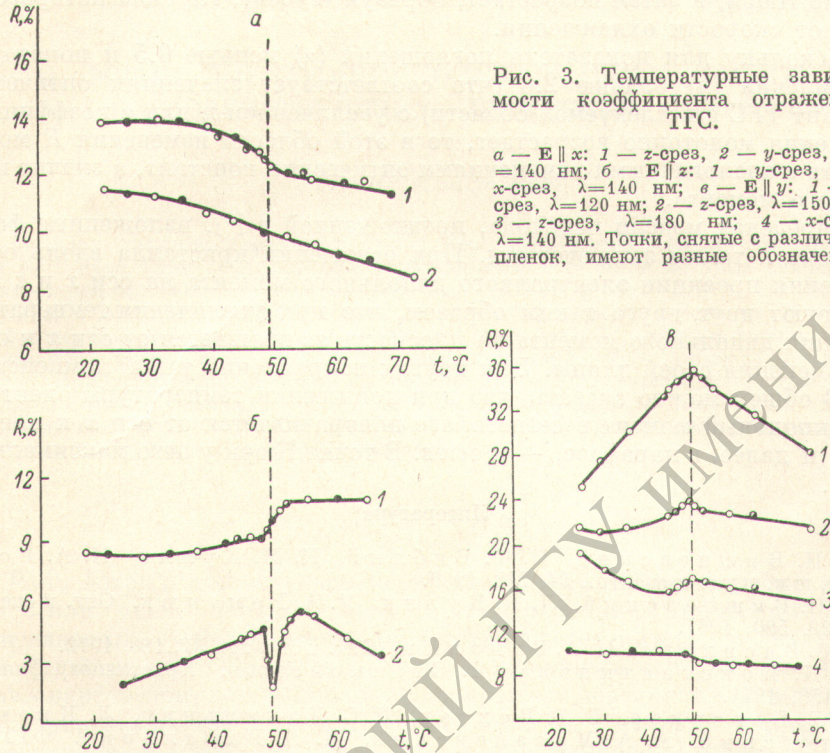


Рис. 3. Температурные зависимости коэффициента отражения ТГС.

$a — E \parallel x$ : 1 —  $z$ -рез, 2 —  $y$ -рез,  $\lambda = 140$  нм;  $b — E \parallel z$ : 1 —  $y$ -рез, 2 —  $x$ -рез,  $\lambda = 140$  нм;  $c — E \parallel y$ : 1 —  $z$ -рез,  $\lambda = 120$  нм; 2 —  $z$ -рез,  $\lambda = 150$  нм, 3 —  $z$ -рез,  $\lambda = 180$  нм; 4 —  $x$ -рез,  $\lambda = 140$  нм. Точки, снятые с различных пленок, имеют разные обозначения.

$18\% < R < 56\%$ , а для  $E \parallel z — 8\% < R < 38\%$ . Самое высокое значение  $R$  наблюдается у  $z$ -реза ( $4\% < R < 72\%$ ).

В целом можно утверждать, что в сегнетофазе наименьшая отражательная способность при поляризации  $E \parallel z$ , а наибольшая — при  $E \parallel x$ .

Температурные изменения спектров ярче выражены для участка 150—100 нм. Интенсивности всех полос этой части спектра одинаково изменяются с температурой (рис. 3), смещения полос не наблюдалось.

На рис. 3 представлены температурные зависимости коэффициента отражения разных срезов и ориентаций образцов ТГС. Надо отметить, что характер этих зависимостей резко отличается для разных срезов одной ориентации. Во всех случаях кривая  $R(t)$  разбивается на два прямолинейных или монотонно изменяющихся участка, разделенных областью точки Кюри. В области  $1—3^\circ$  около точки Кюри  $R$  изменяется очень резко. Характер зависимости хорошо повторяется для процессов нагревания и охлаждения. Может только незначительно измениться наклон линий, что вероятнее всего связано с различной скоростью изменения температуры (см., например, [4]).

Для  $E \parallel x$  отражение монотонно падает (с ускорением в районе точки Кюри) при увеличении температуры (рис. 3, a). Для  $E \parallel z$   $R$  падает при продвижении в глубь сегнетофазы (температура уменьшается), резко воз-

растает при переходе в парафазу и здесь линейно уменьшается ( $x$ -срез) или не изменяется ( $y$ -срез) при увеличении температуры (рис. 3, б).

Зависимость  $R(t^\circ)$  для  $E \parallel y$  описать сложнее, поскольку характер ее изменения с длиной волны, что особенно четко видно на  $z$ -срезе (рис. 3, в). Для  $\lambda > 150$  нм  $R$  монотонно возрастает при продвижении в глубь сегнетофазы, для  $\lambda < 150$  нм — уменьшается. В области точки Кюри  $R$  резко возрастает, а затем плавно уменьшается при дальнейшем нагревании (с большей скоростью для  $\lambda < 150$  нм). Для  $E \parallel y$   $x$ -среза также намечается спектральная зависимость  $R(t^\circ)$ , характер которой установить трудно из-за малости эффекта (рис. 3, в, кривая 4).

Для  $E \parallel z$   $x$ -среза при переходе в сегнетофазу  $R$  сначала резко падает к точке Кюри, а затем возрастает, образуя «зубец», глубина которого зависит от скорости охлаждения.

Поскольку для показателя поглощения ( $\kappa$ ) меньше 0,5 и показателя преломления ( $n$ ) больше 2,0 (что соответствует значениям оптических констант ТГС в исследуемой области) с увеличением  $n$  или  $\kappa$  коэффициент отражения монотонно возрастает, то в этой области изменения  $R$  можно увязать с аналогичными изменениями оптических констант, а значит и дипольного момента.

В пределах модели перехода, предложенной в [5], изложенные факты приводят к таким заключениям. При освещении кристалла вдоль оси  $y$  изменения проекции электронного дипольного момента на оси  $x$  и  $z$  компенсируют друг друга таким образом, что при увеличении температуры проекция дипольного момента на плоскость  $xz$  вращается от оси  $x$  к оси  $z$  без изменения своей длины. Для других направлений такой компенсации нет. В общем можно сказать, что при повышении температуры электронный дипольный момент в сегнетофазе поворачивается от оси  $x$  к плоскости  $yz$  и далее, в парафазе, — к оси  $z$ . В точке Кюри у него максимальная длина.

#### Литература

- [1] В. Н. Вишневский, И. Ф. Виблый, Л. Н. Куллик, Н. А. Романюк. Опт. и спектр., 24, 748, 1969.
- [2] В. Н. Вишневский, Л. Н. Куллик, Н. А. Романюк. Опт. и спектр., 22, 580, 1967.
- [3] З. С. Васильина, Н. А. Романюк. Опт. и спектр., 32, 188, 1972.
- [4] В. И. Константинова, Я. Станковская. Кристаллография, 16, 458, 1971.
- [5] И. Б. Берсукер, Б. Г. Вехтер, Г. С. Данильчук, Л. Кременчугский, А. А. Музалевский, М. Л. Рафалович. ФТТ, 11, 2452, 1969.

Поступило в Редакцию 25 октября 1971 г.